

УДК 621.315.592

**ОПРЕДЕЛЕНИЕ РЕКОМБИНАЦИОННЫХ ПАРАМЕТРОВ  
ТОНКОБАЗНЫХ ФОТОЭЛЕКТРИЧЕСКИХ  
ПРЕОБРАЗОВАТЕЛЕЙ НА ОСНОВЕ АНАЛИЗА  
СВЕТОВОЙ ВОЛЬТАМПЕРНОЙ ХАРАКТЕРИСТИКИ**

Аношин Ю. А., Базин В. М., Даревский А. С.

Получено аналитическое выражение для световой ВАХ высокоэффективных фотоэлектрических преобразователей (ФП) со структурой типа  $n^+ - p - p^+$ , справедливое в широком диапазоне уровней инжекции. На основе анализа этого выражения разработан метод экспериментального определения вкладов различных источников рекомбинационных потерь в различных областях ФП. Метод успешно апробирован на ФП с двухсторонней чувствительностью при варьировании удельного сопротивления  $p$ -базы ( $3 \div 100 \Omega \cdot \text{см}$ ), температуре измерения ( $25 \div 60^\circ\text{C}$ ) и освещенности ( $0 \div 0.7 \text{ Вт}/\text{см}^2$ ).

Один из наиболее распространенных методов анализа свойств полупроводниковых фотоэлектрических преобразователей (ФП) на основе  $p-n$ -структур базируется на снятии световой вольтамперной характеристики (ВАХ) путем измерения плотности тока короткого замыкания ( $J_{\text{кз}}$ ) и напряжения холостого хода ( $V_{\text{хх}}$ ) при различной интенсивности стационарного освещения [1]. Преимущество этого метода по сравнению с методом темновых ВАХ заключается в устранении влияния последовательного сопротивления ФП, зависящего от уровня фотоинжекции, и, как следствие, в упрощении интерпретации результатов ввиду отсутствия омического падения напряжения вне потенциальных барьеров. Однако этот метод до сих пор не использовался для определения рекомбинационных параметров различных полупроводниковых областей ФП из-за значительных трудностей, связанных с получением и анализом аналитических выражений, описывающих световую ВАХ в общем виде.

В данной работе показано, что в случае высокоэффективных тонкобазных кремниевых ФП со структурой типа  $n^+ - p - p^+$  представляется возможность получить компактное аналитическое выражение для световой ВАХ. Эта возможность связана с тем, что высокоэффективные кремниевые ФП со структурой типа  $n^+ - p - p^+$  обладают рядом особенностей, которые позволяют провести приближенный теоретический расчет световой ВАХ, удовлетворительно описывающий экспериментальные зависимости. Такими особенностями в режиме холостого хода являются малые рекомбинационные потери в областях пространственного заряда (ОПЗ)  $n^+ - p$ - и  $p - p^+$ -переходов (начиная с определенных уровней инжекции), большая диффузационная длина неравновесных носителей заряда (ННЗ) в базе, превосходящая толщину базовой области, и малые (при  $25^\circ\text{C} \leq 5 \cdot 10^{-12} \text{ A}/\text{см}^2$ ) токи насыщения легированных  $n^+$ - и  $p^+$ -слоев. Эти особенности приводят к почти однородному распределению носителей заряда в базе и, как следствие, к пренебрежимо малому вкладу ЭДС Дембера в величину  $V_{\text{хх}}$ . На основе анализа полученного выражения разработан метод определения источников рекомбинационных потерь в различных областях ФП исходя из измерений зависимости  $J_{\text{кз}} = f(V_{\text{хх}})$  в широком диапазоне уровней инжекции.

Вывод аналитического выражения для зависимости основывается на том, что в режиме холостого хода полная плотность тока через ФП равна нулю, и, следовательно, имеет место равенство

$$q \int G(x) dx = q \int R(x) dx, \quad (1)$$

где, по определению,  $q \int G(x) dx$  — плотность фототока  $q \int R(x) dx$  — плотность полного рекомбинационного тока,  $G(x)$  и  $R(x)$  — функции генерации и рекомбинации ННЗ,  $q$  — заряд электрона, а интегрирование проводится по всей толщине ФП. Интегрирование правой части формулы (1) приводит к соотношению

$$J_\phi = q \int^{d_1} \frac{\Delta p(x)}{\tau_p} dx + q \int^d \frac{\Delta n(x)}{\tau} dx + \int^w F(x) dx + q \int^{d_2} \frac{\Delta n(x)}{\tau_n} dx, \quad (2)$$

где  $\Delta n(x)$  и  $\Delta p(x)$  — избыточные концентрации электронов и дырок,  $\tau_p$  — время жизни дырок в  $n^+$ -слое толщиной  $d_1$ ,  $\tau$  — время жизни электронов в  $p$ -базе толщиной  $d$  ( $1/\tau = 1/\tau_{\text{ШРХ}} + 1/\tau_{\text{оже}}$ , где  $\tau_{\text{ШРХ}}$  — время жизни, обусловленное рекомбинацией по механизму Шокли—Ридда—Холла,  $\tau_{\text{оже}}$  — время жизни, связанное с оже-рекомбинацией),  $F(x)$  — результирующий темп рекомбинации ННЗ в ОПЗ  $n^+ - p$ -перехода толщиной  $w$ ,  $\tau_n$  — время жизни электронов в  $p^+$ -слое толщиной  $d_2$ . Второй член в формуле (2) описывает рекомбинацию через ловушки и оже-рекомбинацию в базе, первый и четвертый члены — рекомбинацию в  $n^+$ - и  $p^+$ -слоях (включая рекомбинацию на контактах и свободных поверхностях), третий член представляет собой рекомбинационный ток в ОПЗ  $n^+ - p$ -перехода.

Получение выражения для световой ВАХ сводится, таким образом, к нахождению зависимости правой части формулы (2) от напряжения  $V_{xx}$ . Величина  $V_{xx}$  равна сумме напряжений на  $n^+ - p$ - и  $p - p^+$ -переходах, которые, в свою очередь, зависят от концентрации носителей заряда на краях ОПЗ [2]. При больцмановском распределении носителей заряда в ОПЗ условие электронейтральности на краях ОПЗ  $n^+ - p^+$ -перехода приводит к следующему уравнению, связывающему концентрацию электронов  $n(0)$  и дырок  $p(0)$  на краю ОПЗ со стороны  $p$ -базы и напряжение  $V_{n^+p}$  на  $n^+ - p$ -переходе:

$$n(0)p(0) = n_i^2 \left[ \left( 1 + \frac{n_i^2}{N_A^2} \right) \exp \left( \frac{qV_{n^+p}}{kT} \right) \right] \exp \left( \frac{qV_{n^+p}}{kT} \right), \quad (3)$$

где  $N_A$  — концентрация акцепторов в  $p$ -базе,  $n_i$  — собственная концентрация носителей в кремнии,  $k$  — постоянная Больцмана,  $T$  — абсолютная температура. Уравнение (3) справедливо при  $p(0) \ll N_D$  ( $N_D$  — концентрация доноров в  $n^+$ -области). Аналогичным образом можно получить соотношение, связывающее концентрации  $n(d)$ ,  $p(d)$  на краю ОПЗ  $p - p^+$ -перехода со стороны  $p$ -базы и напряжение  $V_{pp^+}$  на  $p - p^+$ -переходе:

$$n(d)p(d) = N_A^2 \left[ \left( 1 + \frac{n_i^2}{N_A^2} \right) \exp \left( \frac{qV_{pp^+}}{kT} \right) - 1 \right] \exp \left( \frac{qV_{pp^+}}{kT} \right). \quad (4)$$

Учитывая то, что  $n_i \ll N_A$ , соотношение (4) преобразуется к виду

$$n(d)p(d) \simeq N_A \left[ \exp \left( \frac{qV_{pp^+}}{kT} \right) - 1 \right] \exp \left( \frac{qV_{pp^+}}{kT} \right). \quad (5)$$

В результате с помощью формул (3) и (5) напряжение  $V_{xx}$  можно выразить через концентрации электронов  $n(0)$  и  $n(d)$  на краях  $p$ -базы:

$$V_{xx} = \left( \frac{kT}{q} \right) \ln \left[ \frac{N_A^2}{n_i^2} \frac{n(0)}{N_A} \left( 1 + \frac{n(d)}{N_A} \right) \right]. \quad (6)$$

Эта формула при высоких уровнях инжекции [ $n(0), n(d) \gg N_A$ ] переходит в соответствующую формулу в работе [3].

Используя соотношения между концентрациями носителей заряда по обеим сторонам ОПЗ  $n^+ - p$ - и  $p - p^+$ -переходов [2, 3], уравнение (2) можно переписать в виде

$$J_{\phi} = J_{0n^+} \frac{n(0)p(0)}{n_i^2} + q \int^d \frac{\Delta n(x)}{\tau} dx + \int^w F(x) dx + J_{0p^+} \frac{n(d)p(d)}{n_i^2}, \quad (7)$$

где, по определению,  $J_{0n^+}$  — ток насыщения  $n^+$ -слоя,

$$J_{0n^+} = \frac{qn_i^2}{N_D \tau_p} \int^{d_1} f_1(x, L_p, S_1) dx, \quad (8)$$

$J_{0p^+}$  — ток насыщения  $p^+$ -слоя,

$$J_{0p^+} = \frac{qn_i^2}{N_A \tau_n} \int^{d_2} f_2(x, L_n, S_2) dx, \quad (9)$$

$N_D$  — концентрация доноров в  $n^+$ -слое,  $N_A$  — концентрация акцепторов в  $p^+$ -слое,  $f_1, f_2$  — функции координат, зависящие от диффузионных длин  $L_p, L_n$  и скоростей поверхностной рекомбинации  $S_1, S_2$  дырок и электронов в  $n^+$ - и  $p^+$ -слоях.

Можно показать, что в высокоеффективных ФП с тонкой базой (диффузионная длина электронов в базовой области превышает толщину базы), в которых токи насыщения  $J_{0n^+}$  и  $J_{0p^+}$  малы и отсутствуют заметные шунтирующие токовые утечки, имеет место почти однородное распределение неравновесных электронов в  $p$ -базе, следовательно,  $n(0) \approx n(d) \approx n_0 + \bar{\Delta}n \approx \bar{\Delta}n$  и  $p(0) \approx p(d) \approx p_0 + \bar{\Delta}n \approx N_A + \bar{\Delta}n$ , где  $n_0$  и  $p_0$  — равновесные концентрации электронов и дырок,  $\bar{\Delta}n$  — средняя концентрация избыточных электронов. В этом случае формулы (6) и (7) значительно упрощаются и сводятся к виду

$$V_{xx} = \left( \frac{kT}{q} \right) \ln \left[ \left( \frac{N_A}{n_i} \right)^2 \xi (1 + \xi) \right], \quad (10)$$

$$J_{\phi} = (J_{0p} + J_{0n} + J_{0n^+} + J_{0p^+}) \left[ \left( \frac{N_A}{n_i} \right)^2 \xi (1 + \xi) \right], \quad (11)$$

где  $\xi = \bar{\Delta}n / N_{\text{в}}$  — уровень инжекции электронов в  $p$ -базе,  $J_{0p}$  — по определению, ток насыщения базовой области,

$$J_{0p} = \frac{qn_i^2 d}{N_A (1 + \xi)} \frac{1}{\tau}, \quad (12)$$

а  $J_{0n}$  — по определению, ток насыщения ОПЗ  $n^+ - p$ -перехода,

$$J_{0n} = J_p \left[ \left( \frac{N_A}{n_i} \right)^2 \right]^{\frac{1}{m}-1} \frac{\xi^{\frac{1}{m}-1}}{1 + \xi}, \quad (13)$$

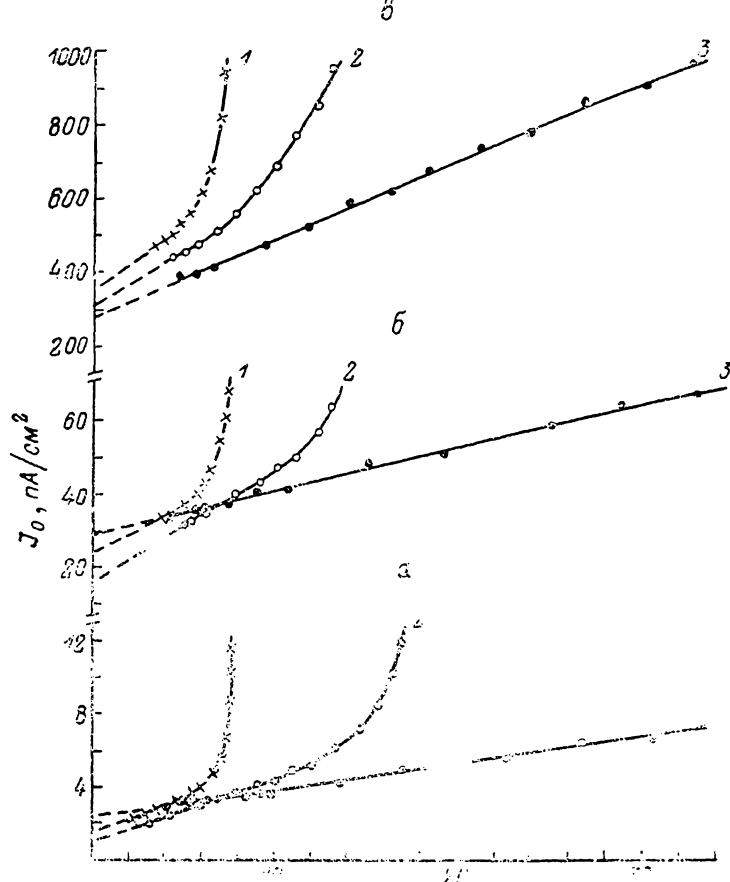
представленный в таком виде с учетом выражения для рекомбинационного тока в ОПЗ асимметричного  $n^+ - p$ -перехода,  $J_{0n} = J_p \exp(qV_{n^+p}/mkT)$ , где  $J_p$  — слабая функция  $V_{n^+p}$  [4].

Из соотношений (7) и (8) следует искомая зависимость  $J_{\phi} = f(V_{xx})$ :

$$J_{\phi} = (J_{0p} + J_{0n} + J_{0n^+} + J_{0p^+}) \exp\left(\frac{qV_{xx}}{kT}\right). \quad (14)$$

анализ которой показывает, что в связи с различной зависимостью составляющих полного тока насыщения  $J_0 = J_{0p} + J_{0n} + J_{0n^+} + J_{0p^+}$  от уровня инжекции появляется возможность разделения вкладов этих составляющих. Действительно, путем подбора диапазона изменений интенсивности стационарного светового потока можно создать условия, при которых вклады оже-рекомбинации в  $p$ -базе и рекомбинации в ОПЗ малы (возможность значительного снижения вклада рекомбинационных потерь в ОПЗ асимметричных  $n^+ - p$ -переходов при повышенных напряжениях  $V_{n^+p}$  предсказывается теорией [4]), а время жизни  $\tau$  не зависит от уровня инжекции. Из-за сильного легирования  $n^+$ - и  $p^+$ -слоев токи насыщения  $J_{0n^+}$  и  $J_{0p^+}$  практически постоянны в широком диапазоне уровней инжекции. Тогда зависимости  $J_0 = f(1/(1 + \xi))$  или  $J_0 = f(1/N_A(1 + \xi))$ , в ко-

торых величина  $J_0$  находится с помощью формулы (14) по измеренным значениям  $J_{\text{кз}}$  ( $\simeq J_\phi$ ) и  $V_{xx}$ , а уровни инжекции  $\xi$  — с помощью формулы (10) по измеренным значениям  $V_{xx}$ , становятся линейными. Это позволяет по пересечению прямой с осью  $J_0$  найти суммарный ток насыщения легированных слоев  $J_{0n^+} + J_{0p^+}$ , а по наклону — время жизни  $\tau_{\text{ШРХ}} = \text{const}$ , соответствующее рекомбинации через ловушки при относительно высоком уровне инжекции [5]. После нахождения параметров  $J_{0n^+} + J_{0p^+}$  и  $\tau_{\text{ШРХ}} = \text{const}$  можно с помощью формулы (12) найти  $\tau$  тоже в области высоких уровней инжекции, а с помощью формул (12) и (13) разделить экспериментально вклады рекомбинации Шокли—Рида—



Зависимости суммарного тока насыщения  $J_0$  от уровня инжекции  $\xi$  для трех двухсторонних ФП со структурой  $n^+—p—p^+$  с различными концентрациями акцепторов  $N_4$  в  $p$ -базе.

$T, {}^\circ\text{C}: a = 25, b = 40, c = 60. N_4, \text{ см}^{-3}: 1 = 1.3 \cdot 10^{15}, 2 = 5.0 \cdot 10^{14}, 3 = 7.4 \cdot 10^{13}$ . Экспериментальные точки при  $2 < [N_4(1 + \xi)]^{-1} \cdot 10^{16} \text{ см}^{-3} < 4$  ( $V_{xx} = 600 \pm 650 \text{ мВ}$ ) получены на импульсной установке только при  $25 {}^\circ\text{C}$ .

Холла в базе и ОПЗ  $n^+—p$ -перехода в области средних и низких уровней инжекции.

С целью подтверждения этих выводов при различных температурах были проведены измерения ВАХ двухсторонних ФП со структурой  $n^+—p—p^+$ , изготовленных по стандартной технологии [6] из пластин монокристаллического кремния  $p$ -типа с удельным сопротивлением, которое варьировалось в интервале  $\rho = 3 \div 100 \Omega \cdot \text{см}$ . Толщины легированных  $n^+$ - и  $p^+$ -слоев во всех структурах не превышали 0.5 мкм. Измерения световых ВАХ осуществлялись на установке со стационарным световым потоком, в состав которой входят имитатор солнечного излучения спектрального состава АМО, цифровые измерительные приборы постоянного тока и система терmostатирования, и на установке с им-

№ ФП	$N_A$ , $\text{см}^{-3}$	$d$ , мкм	$J_{0n^+} + J_{0p^+}$ , $\text{nA/cm}^2$			$\tau$ , мкс			СВЧ метод		$\tau$ , мкс
			25 °C	40 °C	60 °C	25 °C	40 °C	60 °C	$J_{0n^+} + J_{0p^+}$ , $\text{nA/cm}^2$	$\tau$ , мкс	
1	$1.3 \cdot 10^{15}$	228	1.4	30	350	170	320	370	1.6	160	180
2	$5.0 \cdot 10^{14}$	255	1.0	16	310	180	220	400	1.2	200	210
3	$7.4 \cdot 10^{13}$	278	2.4	29	280	480	610	610	2.4	520	550

пульсным световым потоком, содержащей лампу-вспышку с длительностью импульса 40 мс и систему регистрации на основе импульсных цифровых вольтметров. Концентрация акцепторов  $N_A$  в базе ФП определялась методом вольт-фарадных характеристик при обратных смещающих напряжениях до 10 В с помощью универсального цифрового моста.

На рисунке представлены типичные зависимости  $J_0 = f(1/N_A(1+\xi))$ , полученные при трех различных температурах для трех ФП с различными концентрациями акцепторов в базе. Наличие линейного участка на этих зависимостях свидетельствует о выполнении условий, при которых рекомбинация в ОПЗ уже не сказывается, оже-рекомбинация еще не проявляется, а  $\tau_{\text{ШРХ}} = \text{const}$ . Это дает возможность экспериментально определить сумму  $J_{0n^+} + J_{0p^+}$  по пересечению линейного участка с осью  $J_0$  и величину  $\tau_{\text{ШРХ}} = \text{const}$  по тангенсу угла наклона прямолинейного участка. Соответствующие результаты обработки зависимостей представлены в таблице, причем при нахождении  $\tau_{\text{ШРХ}} = \text{const}$  использовались значения  $n_i$ , равные при 25, 40 и 60 °C соответственно  $1.23 \cdot 10^{10}$ ,  $4.08 \cdot 10^{10}$  и  $17.1 \cdot 10^{10} \text{ см}^{-3}$ . В этой же таблице для сравнения приведены результаты независимого определения величин  $J_{0n^+} + J_{0p^+}$  при 25 °C модуляционным СВЧ методом, основанным на измерении спада фотопроводимости  $p$ -базы тех же ФП, и результаты независимого измерения  $\tau_{\text{ШРХ}} = \text{const}$  при 25 °C как модуляционным СВЧ методом, так и методом, основанным на измерении спада фотопроводимости в пластинах, погруженных в электролит, снижающий скорость поверхности рекомбинации до сверхнизких значений [7, 8]. В последнем случае с ФП удалялись просветляющие покрытия и легированные  $n^+$ - и  $p^+$ -слои. Хорошее совпадение величин  $J_{0n^+} + J_{0p^+}$  и  $\tau_{\text{ШРХ}} = \text{const}$ , определенных принципиально различными методами, служит независимым подтверждением корректности определения рекомбинационных параметров предложенным методом. Как и следовало ожидать, более высококомпактным образцам отвечают более высокие значения  $\tau_{\text{ШРХ}}$ . Рост  $\tau_{\text{ШРХ}}$  при увеличении температуры соответствует известным экспериментальным результатам [9] и теоретическим расчетам [4, 5]. Возрастание суммы  $J_{0n^+} + J_{0p^+}$  с ростом температуры обусловлено в соответствии с (8) и (9) в основном увеличением  $n_i$ , а небольшие отклонения отношения величин  $(J_{0n^+} + J_{0p^+})_{25 \text{ } ^\circ\text{C}} : (J_{0n^+} + J_{0p^+})_{40 \text{ } ^\circ\text{C}} : (J_{0n^+} + J_{0p^+})_{60 \text{ } ^\circ\text{C}}$  от соответствующих отношений  $n_i^2(25 \text{ } ^\circ\text{C}) : n_i^2(40 \text{ } ^\circ\text{C}) : n_i^2(60 \text{ } ^\circ\text{C})$  связаны, по-видимому, с зависимостью  $\tau_p$  и  $\tau_n$  от температуры.

Отклонения от линейности и значительное увеличение суммарного тока насыщения  $J_0$  при малых уровнях инжекции [на рисунке уменьшению уровня инжекции  $\xi$  соответствует рост  $1/N_A(1+\xi)$ ] отвечают в соответствии с соотношениями (12) и (13) увеличению вклада рекомбинации Шокли—Рида в базе и ОПЗ  $n^+—p$ -перехода. Этот вклад поддается количественной оценке при каждом уровне инжекции. Как нами установлено, во всех трех образцах при всех температурах коэффициент  $m$ , характеризующий рекомбинацию в ОПЗ, равен 2.9. Значения  $m > 2$  предсказываются теорией для асимметричных  $n^+—p$ -переходов [4]. Как показывают оценки и подтверждает эксперимент (см. рисунок), даже уровней инжекции, создаваемых лампой-вспышкой (освещенности  $\leqslant 0.7 \text{ Вт}/\text{см}^2$ ), недостаточно для заметного вклада оже-рекомбинации в полный ток насыщения.

Таким образом, на примере исследования высокоэффективных ФП мы показали возможность получения количественной информации о рекомбинационных параметрах слоев структуры типа  $n^+—p—p^+$  с разными уровнями легирования,

исходя из анализа световой ВАХ. Метод позволяет экспериментально определить диапазон уровней инжекции, при которых мало влияние ОПЗ и корректины измерения времени жизни неравновесных носителей в базе ФП (например, методом спада  $V_{xx}$  [10]).

В заключение авторы выражают искреннюю признательность сотруднику ИРЭ АН СССР В. А. Сабликову за полезные замечания и уточнения в теоретической части работы.

### Список литературы

- [1] Колтун М. М. Оптика и метрология солнечных элементов. М., 1985. 280 с.
- [2] Hauser J. R. // Sol. St. Electron. 1971. V. 14. N 2. P. 133—139.
- [3] Sinton R. A., Swanson R. M. // IEEE Trans. Electron. Dev. 1987. V. ED-34. N 6. P. 1380—1389.
- [4] Фаренбрух А., Бьюб Р. Солнечные элементы. Теория и эксперимент. М., 1987. 280 с.
- [5] Блэкмор Дж. Статистика электронов в полупроводниках. М., 1964. 392 с.
- [6] Аночин Ю. А., Бордина Н. М., Зайцева А. К. // Гелиотехника. 1979. № 2. С. 3—8.
- [7] Yablonovitch E., Allara D. L., Chang C. C. et al. // Phys. Rev. Lett. 1986. V. 57. N 2. P. 249—252.
- [8] Аночин Ю. А., Базин В. М., Даревский А. С. // Поверхность. Физика, химия, механика. 1988. № 10. С. 119—122.
- [9] Agakwala A. // Sol. St. Electron. 1980. V. 23. N 10. P. 1021—1028.
- [10] Roze B. H., Weaver H. T. // Appl. Phys. Lett. 1984. V. 45. N 3. P. 247—249.

Всесоюзный научно-исследовательский  
институт источников тока  
Москва

Получена 21.04.1988  
Принята к печати 10.01.1989